

**Figura 2** Orto-hiperqueratose, ausência de camada granulosa e acantose de pequeno grau são observadas na epiderme. Na derme superior, há pequeno infiltrado linfocitário perivascular (Hematoxilina & eosina, 40 ×).

### Contribuição dos autores

İrfan Yavaşoğlu: Concepção e planejamento do estudo; obtenção de dados, ou análise e interpretação dos dados; elaboração e redação do manuscrito ou revisão crítica de conteúdo intelectual importante; obtenção, análise e interpretação dos dados; revisão crítica da literatura; aprovação da versão final do manuscrito.

Atakan Turgutkaya: Obtenção de dados, ou análise e interpretação dos dados; elaboração e redação do manuscrito ou revisão crítica de conteúdo intelectual importante; obtenção, análise e interpretação dos dados; revisão crítica da literatura.

Canten Tataroğlu: Obtenção de dados, ou análise e interpretação dos dados; elaboração e redação do manuscrito.

critico ou revisão crítica de conteúdo intelectual importante.

Ali Zahit Bolaman: Concepção e planejamento do estudo; obtenção de dados, ou análise e interpretação dos dados; elaboração e redação do manuscrito ou revisão crítica de conteúdo intelectual importante; obtenção, análise e interpretação dos dados; revisão crítica da literatura; aprovação da versão final do manuscrito.

### Conflito de interesses

Nenhum.

### Referências

- Mishra K, Jandial A, Gupta K, Prakash G, Malhotra P. Ichthyosis: a harbinger of lymphoma. *BMJ Case Rep.* 2018;2018, bcr2018224229.
- Word AP, Cayce R, Pandya AG. Beware of underlying malignancy: acquired ichthyosis. *Am J Med.* 2014;127:202-4.

İrfan Yavaşoğlu <sup>a</sup>, Atakan Turgutkaya <sup>a,\*</sup>,  
Canten Tataroğlu <sup>b</sup>  
e Ali Zahit Bolaman <sup>a</sup>

<sup>a</sup> *Divisão de Hematologia, Faculdade de Medicina, Aydın Adnan Menderes University, Aydın, Turquia*

<sup>b</sup> *Divisão de Patologia, Faculdade de Medicina, Aydın Adnan Menderes University, Aydın, Turquia*

\* Autor para correspondência.

E-mail: [atakanturgutkaya@yahoo.com.tr](mailto:atakanturgutkaya@yahoo.com.tr) (A. Turgutkaya).

Recebido em 19 de junho de 2023; aceito em 16 de agosto de 2023

<https://doi.org/10.1016/j.abdp.2024.07.009>  
2666-2752/ © 2024 Sociedade Brasileira de Dermatologia.  
Publicado por Elsevier España, S.L.U. Este é um artigo Open Access sob uma licença CC BY (<http://creativecommons.org/licenses/by/4.0/>).

## Microscopia confocal de reflectância em carcinoma basocelular associado a nevo sebáceo: relato de caso<sup>☆,☆☆</sup>



Prezado Editor,

O nevo sebáceo é hamartoma benigno congênito da pele. Sua complicação mais comum é a transformação em outros tumores, mais frequentemente benignos.<sup>1,2</sup> No entanto, em

virtude de seu potencial de malignização, o diagnóstico e tratamento precoce são fundamentais.<sup>3,4</sup>

Enquanto a dermatoscopia possibilita a análise da epiderme até a derme média, a microscopia confocal de reflectância (RCM) utiliza laser de diodo de 830 nm como fonte de luz monocromática e coerente. A profundidade de penetração, entre 200 e 300 μm, fornece imagens no nível celular que se assemelham a biopsias virtuais, oferecendo detalhes de características morfológicas das diferentes camadas da pele até a derme papilar.<sup>5</sup>

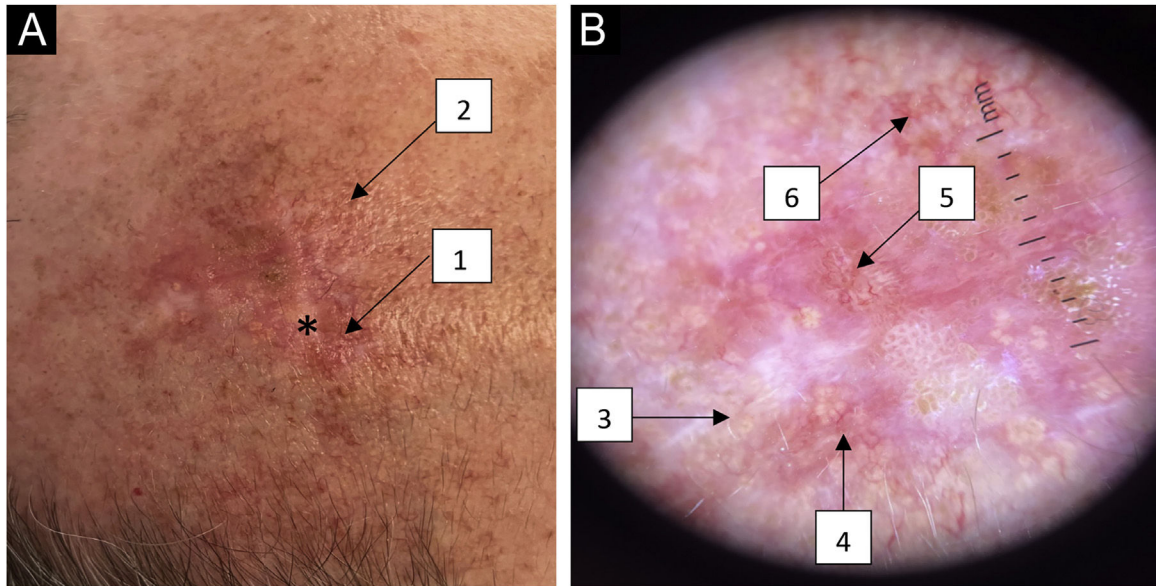
Na literatura, há poucos relatos quanto aos achados típicos do nevo sebáceo na RCM.<sup>6-8</sup> Artigos descrevendo-os, associados aos do carcinoma basocelular, mostram-se ainda menos frequentes.<sup>9,10</sup> Apresentamos um cenário das características dermatoscópicas frequentes no nevo sebáceo associado ao carcinoma basocelular, evidenciando as alterações na RCM do nevo sebáceo, pouco descritos em literatura até o momento.

DOI do artigo original:

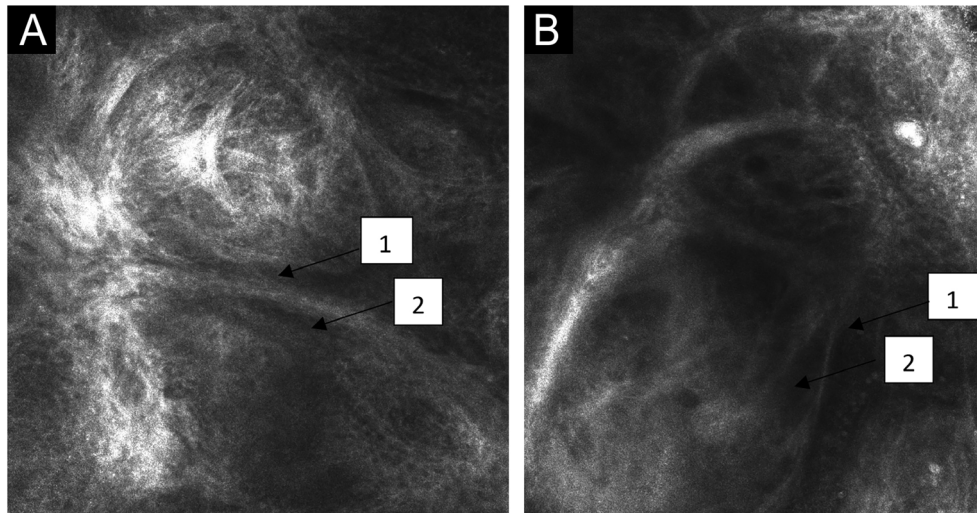
<https://doi.org/10.1016/j.abd.2023.09.011>

☆ Como citar este artigo: Ferraz IPRP, Carvalho G, Braga JCT, Paula RB, Molina A. Confocal reflectance microscopy in basal cell carcinoma associated with nevus sebaceous: case report. *An Bras Dermatol.* 2024;99:957-60.

☆☆ Trabalho realizado no Hospital A.C. Camargo Cancer Center, São Paulo, SP, Brasil.



**Figura 1** (A) Macroscopia com placa amarelo-perlácea de limites pouco precisos sobre base eritematosa (\*) com telangiectasias na periferia (1) e pápulas amareladas (2) na porção superior. (B) Dermatoscopia (aumento de 10×) com estruturas redondas amarelo-esbranquiçadas em pedras de calçamento (3), telangiectasias (4), vasos arboriformes (5) e pápulas amarelo-esbranquiçadas arredondadas com umbilicação central e vasos em coroa (6).



**Figura 2** Microscopia confocal de refletância na derme papilar do carcinoma basocelular com imagens individuais de 0,5 × 0,5 mm<sup>2</sup> e mosaico de 8 × 8 mm<sup>2</sup>. Ilhas tumorais (\*) com fenda peritumoral (1) e silhuetas escuras (2).

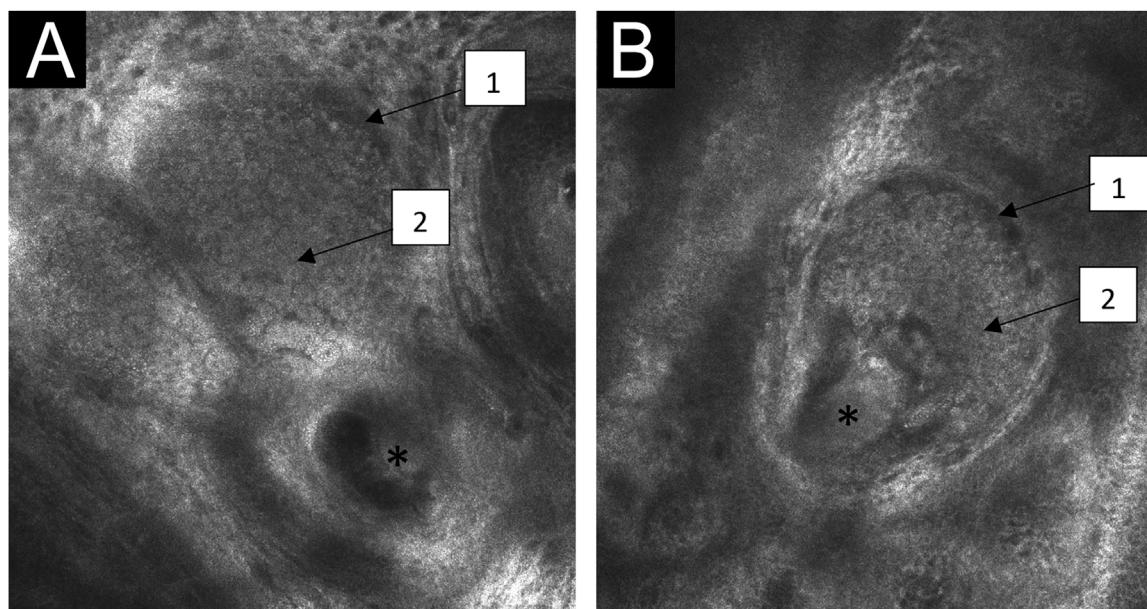
Paciente do sexo masculino, 41 anos, sem antecedente pessoal ou familiar de câncer de pele, atendido por lesão desde a infância na fronte direita com mudança da textura e crescimento lento ao longo dos anos.

Na macroscopia, visualiza-se placa amarelo-perlácea, de limites pouco precisos, sobre base eritematosa e telangiectasias na periferia, com pápulas amareladas em sua porção superior. Palpação com discreta verrucosidade (fig. 1A).

A dermatoscopia evidencia, inferiormente, estruturas redondas e ovais, esbranquiçadas e amarelo-esbranquiçadas, em “pedras de calçamento”, agregadas uniformemente, com telangiectasias na periferia. Na região central há vasos arboriformes, tipicamente associados

ao carcinoma basocelular. Superiormente, agrupamento de pápulas amarelo-esbranquiçadas arredondadas com umbilicação central e vasos em coroa (fig. 1B).

A RCM com VivaScope® 1500 (Lucid Inc. Rochester, NY, USA) mostra, na derme, achados típicos de carcinoma basocelular: ilhas tumorais com fenda peritumoral, silhuetas escuras e, na periferia, células em paliçada e vasos dilatados e tortuosos (fig. 2). Na junção dermoepidérmica e derme papilar, destacam-se estruturas em forma de tubo central, com lóbulos de glândulas sebáceas na área circundante, preenchidos por agregados de formações semelhantes a ovos de peixe, típicos do nevo sebáceo (fig. 3).



**Figura 3** Microscopia confocal de reflectância na derme papilar do nevo sebáceo com imagens individuais de  $0,5 \times 0,5 \text{ mm}^2$  e mosaicos de  $8 \times 8 \text{ mm}^2$ . Estruturas em forma de tubo central (\*), com lóbulos de glândulas sebáceas na área circundante (1), preenchidos por agregados de formações semelhantes a ovas de peixe (2).

Foram realizadas duas biopsias incisionais com *punch* de 4 mm. A histopatologia revelou, na região inferior, carcinoma basocelular superficial e, na região central, carcinoma basocelular superficial e nodular, ambos associados a nevo sebáceo (fig. 4).

O paciente foi submetido a cirurgia com controle de margem e fechamento primário e encontra-se há seis meses em seguimento na Oncologia Cutânea, sem sinais de recidiva.

O nevo sebáceo é hamartoma benigno congênito da pele composto por inúmeras glândulas sebáceas malformadas, folículos pilosos degenerados e glândulas apócrinas ectópicas, que se localiza mais frequentemente na face e no couro cabeludo.<sup>1</sup> Dois terços das lesões estão presentes desde o nascimento e um terço se desenvolve na primeira infância.<sup>2</sup> Sua complicação mais comum é a transformação em outros tumores, mais frequentemente benignos, primeiramente o tricoblastoma, seguido pelo siringocistoadenoma papilífero.<sup>3</sup> Dentre os malignos, o mais comum é o carcinoma basocelular, que se desenvolve em menos de 1% dos casos.<sup>4</sup> Em virtude do potencial para transformação maligna, o diagnóstico e tratamento precoce são fundamentais.

Enquanto a dermatoscopia possibilita a análise da epiderme até a derme reticular superficial, a RCM utiliza laser de diodo de 830 nm como fonte de luz monocromática e coerente. A profundidade de penetração, entre 200 e 300  $\mu\text{m}$ , fornece imagens no nível celular que se assemelham a biopsias virtuais, oferecendo detalhes de características morfológicas das diferentes camadas da pele até a derme papilar.<sup>5</sup>

Na literatura, há poucos relatos até o momento quanto aos achados típicos do nevo sebáceo na RCM. Descrições aproximadas se referem àqueles da hiperplasia sebácea nesse exame.<sup>6-8</sup> Um único trabalho identificou as alterações do nevo sebáceo na confocal em diferentes grupos etários.<sup>9</sup> Tal artigo evidenciou que, abaixo dos 10 anos, visualizam-

-se nessas lesões glândulas sebáceas hipoplásicas e folículos pilosos juvenis. Dos 10 aos 59 anos, as glândulas sebáceas na junção dermoepidérmica se assemelham a cachos de uva e, na derme superficial, visualizam-se estruturas semelhantes a tubos ou alças no centro, que correspondem à dilatação do ducto sebáceo,<sup>7</sup> com lóbulos de glândulas sebáceas semelhantes a ovas de peixe na área circundante e hiperplasia verrucosa ou papilomatosa na derme. Acima dos 60 anos, a hiperplasia papilomatosa predomina no exame.<sup>1-3</sup> Artigos usando a RCM descrevendo as características do nevo sebáceo, associados aos do carcinoma basocelular, mostram-se ainda menos frequentes no presente, destacando-se um único relato de caso de siringocistoadenoma papilífero e carcinoma basocelular surgindo de nevo sebáceo prévio.<sup>10</sup>

Novos estudos se mostram, portanto, necessários para que mais estruturas típicas do nevo sebáceo associado ao carcinoma basocelular sejam padronizadas na RCM.

### Suporte financeiro

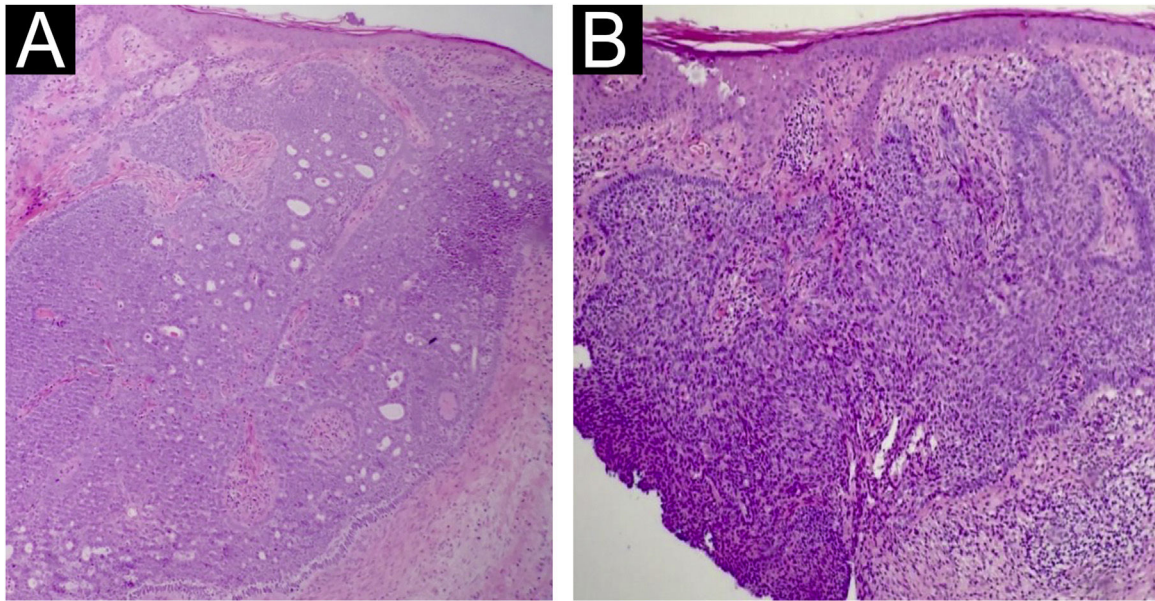
Nenhum.

### Contribuição dos autores

Ingrid Priscila Ribeiro Paes Ferraz: Aprovação da versão final do manuscrito; elaboração e redação do manuscrito; revisão da literatura; revisão crítica do manuscrito.

Gustavo Carvalho: Aprovação da versão final do manuscrito; elaboração e redação do manuscrito; revisão da literatura; revisão crítica do manuscrito.

Juliana Casagrande Tavoloni Braga: Aprovação da versão final do manuscrito; elaboração e redação do manuscrito; revisão da literatura; revisão crítica do manuscrito.



**Figura 4** Fotomicrografia com coloração Hematoxilina & eosina. (A) Aumento de 100× evidenciando carcinoma basocelular nodular com padrão adenoide, originando-se da epiderme do nevo sebáceo. (B) Aumento de 200× evidenciando carcinoma basocelular superficial e nodular originando-se da epiderme do nevo sebáceo.

rafaela brito de paula: aprovação da versão final do manuscrito; elaboração e redação do manuscrito; revisão da literatura; revisão crítica do manuscrito.

André Molina: Aprovação da versão final do manuscrito; elaboração e redação do manuscrito; revisão da literatura; revisão crítica do manuscrito.

### Conflito de interesses

Nenhum.

### Referências

1. Lima TFM, Melo MN, Baeninger LG, Neto AG, Simião AL. Nevus sebaceous with malignant transformation treated with Mohs surgery: a case report. *Surg Cosmet Dermatol*. 2020;12:204–7.
2. Constant E, Davis DG. The premalignant nature of the sebaceous nevus of Jadassohn. *Plast Reconstr Surg*. 1972;50:257–9.
3. Idriss MH, Elston DM. Secondary neoplasms associated with nevus sebaceous of Jadassohn: a study of 707 cases. *J Am Acad Dermatol*. 2014;70:332–7.
4. Cribier B, Scrivener Y, Grosshans E. Tumors arising in nevus sebaceous: a study of 596 cases. *J Am Acad Dermatol*. 2000;42:263–8.
5. Rezza GG, Casagrande JT. Microscopia Confocal (MC). In: Rezza GG, Casagrande JT. *Atlas de Microscopia Confocal na Dermatologia*. São Paulo: Lemar. 2016:21–3.
6. Rao L, Lin EY, Wang WJ, Huang XW. Detection of sebaceous gland hyperplasia with dermoscopy and reflectance confocal microscopy. Preprint. 2022:1–10.
7. Propperova I, Langley RG. Reflectance-mode confocal microscopy for the diagnosis of sebaceous hyperplasia in vivo. *Arch Dermatol*. 2007;143:134.

8. González S, White WM, Rajadhyaksha M, Anderson RR, González E. Confocal imaging of sebaceous gland hyperplasia in vivo to assess efficacy and mechanism of pulsed dye laser treatment. *Lasers Surg Med*. 1999;25:8–12.
9. Jiang Q, Chen H, Ma Ling, Huang M, Xia Y, Chen L. Characteristic analysis of sebaceous nevus using dermoscopy and reflectance confocal microscopy. *Chinese Journal of Dermatology*. 2018:523–5.
10. Jiang J, Chen Y, He Q, Yang J, Zhang Z, Yang H, et al. Syringocystoadenoma papilliferum and basal cell carcinoma arising in nevus sebaceous. *Clin Cosmet Investig Dermatol*. 2022;15:2021–6.

Ingrid Priscila Ribeiro Paes Ferraz <sup>ID</sup> a,\* ,  
 Gustavo Carvalho <sup>ID</sup> b ,  
 Juliana Casagrande Tavoloni Braga <sup>ID</sup> b ,  
 Rafaela Brito de Paula <sup>ID</sup> b  
 e André Molina <sup>ID</sup> b

<sup>a</sup> Departamento de Emergência, Hospital A.C. Camargo Cancer Center, São Paulo, SP, Brasil

<sup>b</sup> Departamento de Oncologia Cutânea, Hospital A.C. Camargo Cancer Center, São Paulo, SP, Brasil

\* Autor para correspondência.

E-mail: [ingrid.ferraz1979@yahoo.com.br](mailto:ingrid.ferraz1979@yahoo.com.br) (I.P. Ferraz).

Recebido em 23 de abril de 2023; aceito em 25 de setembro de 2023

<https://doi.org/10.1016/j.abdp.2024.07.014>  
 2666-2752/ © 2024 Publicado por Elsevier España, S.L.U. em nome de Sociedade Brasileira de Dermatologia. Este é um artigo Open Access sob uma licença CC BY (<http://creativecommons.org/licenses/by/4.0/>).